

立命館大学理工学部 正員 福本武明

1 まえがき まさ土のように脆い粒子から成る粒状体の圧縮特性には粒子破碎の影響が含まれる。その影響がどの程度のものかは、まだ判つてない現状である。そこで本報では、まさ土の側方拘束状態の圧縮試験によって得られた載荷応力-圧縮ひずみ関係に注目し、そこには内在する粒子破碎の影響量を、これまでに知り得た事項<sup>1)</sup>を踏まえて推定しようと試みる。

2 経験的研究成果 従来、まさ土の締固め特性と透水性に及ぼす粒子破碎の影響について基本的な考察を行はって来た結果、粒子破碎に伴う密度増加が次式で推量できることを突き止めた。<sup>1)</sup> ここに、 $P_d'$ : まさ土を締固めて得た乾燥密度 ( $\text{g}/\text{cm}^3$ ),  $P_d$ : まさ土と同一物理性を有しないから粒子破碎を生じない状態で得られる仮想上の、つまり“無破碎状態”的乾燥密度 ( $\text{g}/\text{cm}^3$ ),  $G_s$ : 土粒子比重,  $I_s$ : 粒子破碎量\*である。式中の $P_d$ の代りに間隙比 $e$ と用いて表現すると(2)式のようになる。(1),(2)式は、まさ土以外の脆い粒状体に対しても成り立つと考えられる。<sup>2)</sup> 本報では、上式が側方拘束状態の圧縮試験においても適用可能という前提に立って議論を進める。

3 試料と試験方法 生駒山系まさ土を空気乾燥し、ロータリープレッサー機で碎く、それを水洗いし粗乾状態にしたのち、図-1に示す初期粒度(タルボット曲線、指數 $n=2.0$ に相当)に調整してものを試料とした。なお、まさ土との比較のために堅固な粒子から成る加古川砂を同様に筋分け・粒度調整して用いた。それらの物理的性質は表-1に示す。なお、表中の $P_{dmax}$ と $P_{dmin}$ は、土質工学会基準案(JSF規格:T26-81T)<sup>3)</sup>の方法に従つて求めた値である。試験は、通常の標準圧密試験機を用い、容器側壁を木槌で打撃する方法によつて相対密度 $D_r$ がほぼ20, 40, 60, 80, 100%になるように後試

表-1 試料の物理的性質

試 料	土粒子比重 $G_s$	最大・最小密度 ( $\text{g}/\text{cm}^3$ )	
		$P_{dmax}$	$P_{dmin}$
生駒まさ	2.663	1.461	1.205
加古川砂	2.645	1.662	1.412

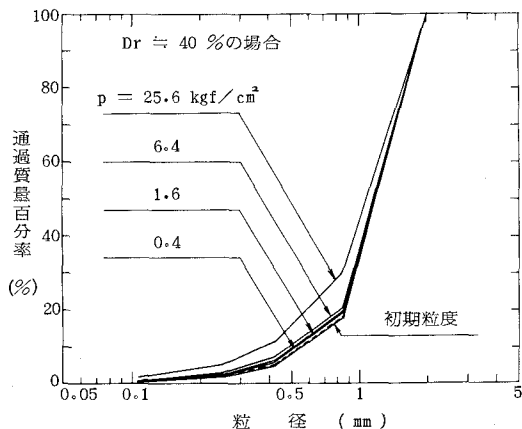


図-1 試験前・後の粒度經加積曲線

体を作製した。載荷応力 $p$ は、最初  $0.05 \text{ kgf}/\text{cm}^2$  を加えて初期状態を設定したのち、応力増加率  $\Delta p/p = 1$  で段階的に  $25.6 \text{ kgf}/\text{cm}^2$  まで載荷した。載荷時間は変形が蓄積するまでとし、圧縮変形量はダイヤルゲージで読み取った。圧縮過程における粒子破碎状況を知るために、今回は  $p=0.4, 1.6, 6.4, 25.6 \text{ kgf}/\text{cm}^2$  のところ32試験を停止し、それらのときのときの試料を取り出してロータリープレッサー機により3分間という条件で粒度分析を行なつた(結果の一例: 図-1参照)。本報で用いる粒子破碎量 $I_s$ は、脚注に式で示してあるが、式中の $S_w, S'_w$ はそれら粒度分析結果から土粒子を球形と仮定して算定した値であること、及び $S_w$ は試験前の供試体に対する試験後と同じ条件下で粒度分析した結果(図-1中の点線、参照)\*から求めた値であることを断つておきたい。

\*  $I_s = 10 \log_{10} (S'_w/S_w)$ 、式中 $S_w$ と $S'_w$ はそれら破碎前・後の比表面積( $\text{cm}^2/\text{g}$ )である。

\*\* 試験前の供試体を筋分けると、図-1中の点線で示したものに調整時の初期粒度に比べて若干細粒化する。 $I_s$ の算定には、この点線の方を用いた。

**4 応力-ひずみ-粒子破碎の関係** 図-2は、まさ土と川砂に対する載荷応力-圧縮ひずみと関係[(a), (b)]と拘束合せに圧縮過程における粒子破碎量 $I_s$ の測定結果[(c)図]を図示したものである。図(a), (b)から、まさ土の圧縮ひずみは粒子の堅固な川砂に比べて明らかに大きい。この差の検討が本報の主眼点である。また図(c)からは、川砂の粒子破碎量がまさ土のそれに比べて極めて小さく非破碎性材料と見なしてよいこと、及びまさ土の粒子破碎量 $I_s$ と載荷応力 $p$ との間に密接な関連があり、今回の試験条件の範囲では次式

$$I_s = a \cdot p \quad \dots \dots \dots (3)$$

で近似できること、などがわかる。

**5 無破碎状態の応力-ひずみ関係** 第1回の試験時に得られた(2)式が圧縮試験時にも成り立つとすれば、圧縮過程における無破碎状態の圧縮ひずみ $\varepsilon_0$ 、すなはちまさ土と同一物性を有しながら粒子破碎を生じない状態で得られる仮想上の圧縮ひずみ $\varepsilon_0$ を求めよことができる。まず(2)式の関係を書き直せば、次式のようになる。

$$\varepsilon_0 = \varepsilon - 0.19(n_i - \varepsilon) \cdot I_s \quad \dots \dots \dots (4)$$

式中、 $n_i$ は復試体の初期隙率、 $\varepsilon$ は圧縮ひずみの実測値である。この式を4節で示した実験データに適用して無破碎状態の圧縮ひずみ $\varepsilon_0$ を求め、載荷応力 $p$ に対してプロットすると、図-3が得られる。この $\varepsilon_0-p$ 曲線は、堅固な粒子から成る川砂の $\varepsilon-p$ 曲線[図-2(b)]と傾向的にもオーダー的にもかなり接近したものになる。ただ、ゆ

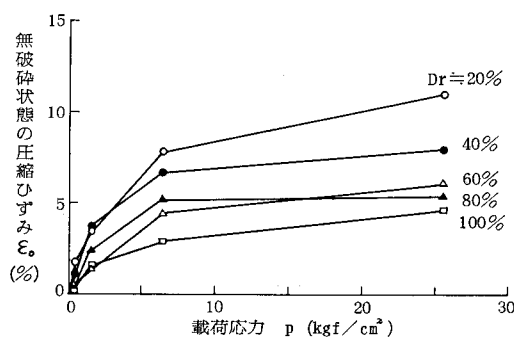


図-3 無破碎状態の応力-ひずみ関係

よ詰めのものは川砂との隔りが大きくなることには注意を要する。

**6 結論** 以上により、まさ土のような脆い粒状体の圧縮特性に内在する粒子破碎の影響量を、(4)式を用いることによって概略推定できることが判った。  
**参考文献** 1) 集約的に福本：まさ土の締固め特性と透水性に関する基礎的研究、博士論文、1979 2) 福本：まさ土の粒状体の締固め特性と透水性に関する考察、第15回土質工学研究発表会、1980 3) 土質学会基準案：土と基礎、Vol. 29, No. 8, 1981

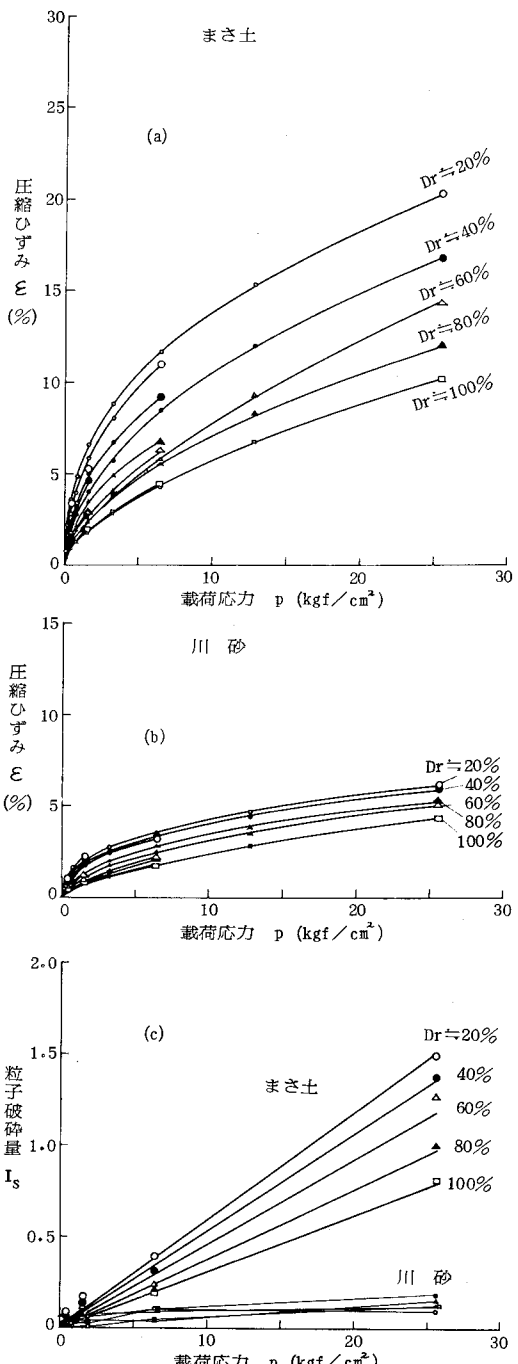


図-2 圧縮試験結果